

0915



艦用蒸汽動力裝置原理及其 戰斗使用講義

(第二章)

中國人民解放軍海軍機械學校

1959. 11

目 錄

第二章 蒸汽动力裝置的基本原理及熱綫圖

§ 2—1	蒸汽动力裝置的实际郎肯循环，实际循环与理論循环的区别.....	1
§ 2—2	回热循环.....	9
§ 2—3	蒸汽的再热循环.....	17
§ 2—4	蒸汽动力裝置热力循环研究中的主要結論、已有裝置保証 循環效率的方法.....	26
§ 2—5	蒸汽动力裝置的最简单熱綫圖.....	27
§ 2—6	單級預熱上水无多余蒸汽的第二类熱綫圖.....	32
§ 2—7	具有背压式及凝汽式副机组的單級无多余預热上水的第二类熱綫圖.....	35
§ 2—8	背压凝汽式綫图中最有利的副机排汽背压的求法.....	38
§ 2—9	單級預热上水有多余加热蒸汽的第二类熱綫圖.....	41
§ 2—10	單級預热第二类熱綫圖的比較、簡單結論、帶除氧器綫圖.....	44
§ 2—11	副机排汽預热上水和通入主机中間級作功的熱綫圖.....	46
§ 2—12	用副机排汽进行兩級預热的綫圖.....	49
§ 2—13	裝置功率与損耗的关系、管理上減少損耗保証功率或經濟性的方法.....	52
§ 2—14	熱綫圖計算.....	57
§ 2—15	艦用蒸汽动力裝置的變工况性能.....	75

第二章 蒸汽动力装置的基本原理及热效率图

蒸汽动力装置是一种热机。任何热机都是在特定条件下将燃料的能量转化为机械功的一种装置，因而它们都要解决热和功转换中的根本问题。舰用蒸汽动力装置是在舰艇条件下实现能量转换的装置，因此存在与装置内部矛盾的诸方面，除去功率与损失外，还有可靠性、生命力、机动性等等。这在第一章中已经讨论了。

蒸汽动力装置是按一定的循环来实现热能转化的，因此研究其热力原理就应该从循环开始：研究在舰用条件下各种循环如何解决效率与损失的矛盾；然后实现这些循环的热力线图是如何解决效率与损失的矛盾。掌握了这些基本原理后就可以进一步解决在已使用的舰用装置中功率及损失的矛盾，这就为装置在战斗时发出最大功率打下了理论基础。

本章就是按上述程序展开的。

2.1 蒸汽动力装置的实际郎肯循环、实际循环与理论循环的区别

蒸汽动力装置是一种热机，在其中作功的工质是水蒸气。根据热力学的研究可知：蒸汽的卡诺循环虽然具有理论上最高的循环热效率，但是实际上实现它是有困难的。因此，郎肯循环便成为研究蒸汽动力装置的基础。然而，在研究郎肯循环时我们总希望能将它向卡诺循环的方向改善以提高其效率值。

郎肯循环的T-S图，如图(2-1)所示，其热效率可以按下式计算：

$$\eta_{\text{L}} = \frac{(t_0 - t_1) - A_v(p_0 - p_1)}{(t_0 - t_1) - A_v(p_0 - p_s)} \quad \dots \dots \dots (2.1)$$

式中： t_0 、 t_1 各为蒸汽在进入主机前及膨胀终了时的焓，千卡／公斤。

t_s 为冷凝终了时海水的焓，千卡／公斤。

v 为上水的比容，公斤/米³

焓差 $I_{h_0} - i_0$ 一般约为

700 千卡/公斤，而 $Av(p_{h_0} - p_x)$

($p_{h_0} - p_x$) 虽即使在高压装置中也很少超过 3 千卡/公斤，因此在分母中的该项可略去而得：

$$\eta_z = \frac{(I_{h_0} - I_x) - Av(p_{h_0} - p_x)}{I_{h_0} - i_0} \quad (2 \cdot 2)$$

对于用不高的初始蒸汽参数的装置来说，上述公式更可简化，即分子中的 $Av(p_{h_0} - p_x)$ 项亦略去不计。例如，当 $p_{h_0} = 30$ 绝对气压， $t_{h_0} = 450^{\circ}\text{C}$ 及 $p_x = 0.1$ 绝对气压时，上水泵所作的功 $Av(p_{h_0} - p_x)$ 约为 0.7 千卡/公斤。而此时主机所作的有效

功约为 250 千卡/公斤。可以看出上水泵功占主机功的 0.28%。此装置的循环热效率 η_z 为 38.3%。如果略去上水泵功，所引起的误差约 0.1%。对循环热效率所要求的精确度一般为 0.1%，因此，我们知道，在高参数下，水泵的功应当考虑，而低于 30 绝对气压时，可以忽略水泵的功。此时，式(2·2)即成为：

$$\eta_z = \frac{I_{h_0} - I_x}{I_{h_0} - i_0} \quad (2 \cdot 3)$$

利用这个公式，根据水蒸汽图表，在已知蒸汽的初终参数后，即可求出循环热效率之值。

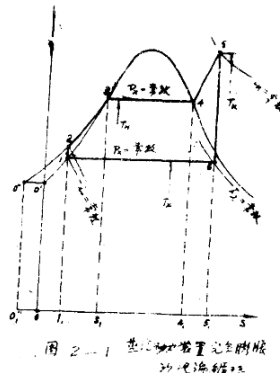


图 2·1 蒸汽动力装置完全膨胀
冷却循环图

图 2·1

我們知道：要提高循环的效率就必须減少其損失，這可依據提高進熱溫度和降低放熱溫度來達到。對即肯循環講，提高進熱溫度包括提高其初溫和初壓，降低放熱溫度即是降低凝汽器壓力；因此，即肯循環是沿着提高初參數和降低終參數發展的。

以實際例子來說明一下參數變化對循環效率的影響：當 $p_{in} = 2.5$ 絶對氣壓， $t_{in} = 840^{\circ}\text{C}$ ， $p_{ex} = 0.1$ 絶對氣壓時， $\eta_{ex} = 82.6\%$ 。如果我們把蒸汽初溫由 840°C 提高到 460°C 時： η_{ex} 將為 84.3% 。因此，將蒸汽過熱溫度增高 120°C ，熱效率即會增加 5.2% （對我們所舉的例而言）。假如初溫不變當 p_{in} 由 2.5 增至 6.0 絶對氣壓，則 η_{ex} 為 86.8% ，循環熱效率增加 11.9% 。如果同時提到初溫和初壓至 460°C 及 6.0 絶對氣壓時， $\eta_{ex} = 88.1\%$ ，效率增加了 1.7% 。

終參數變化對循環效率影響也是很大的。例如當初溫參數為 300°C 時， p_{ex} 由 1 絶對氣壓降低至 0.1 絶對氣壓，循環效率可由 0.238 提高到 0.355 就即增加了 49% ，然而降低 p_{ex} 會使裝置尺寸重量增加，這是不符合艦用汽力裝置要求的。

效率的增加意味着每馬力的耗油量減少了，即是艦艇在一定的續航力下可以減少燃油的裝載，這對改善艦艇戰技性能有顯著的好處。

從熱力學上我們還知道：對一定的初溫，有相應的最適合的初壓。一般艦用裝置中它們的組合大致是：

2.9 絶對氣壓 $400 \div 420^{\circ}\text{C}$;

$3.2 \div 3.5$ 絶對氣壓 $430 \div 450^{\circ}\text{C}$;

$5.0 \div 6.0$ 絶對氣壓 $450 \div 500^{\circ}\text{C}$;

9.0 絶對氣壓 $500 \div 535^{\circ}\text{C}$ 。

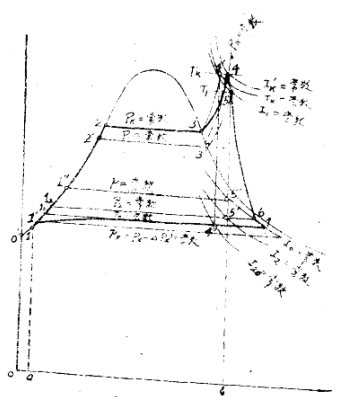
當然這並不是絕對的，要根據具體情況來組合。

提高蒸汽初參數除了熱力上的利益外，還在很大程度上影響了裝置的

其他性能。例如工作可靠性、寿命、重量尺寸、个别机械的性能等等。这些影响中，有些是有利的，有些却很不利，我們将在設計一章內詳細敘述，了解这些，對於管理高参数装置來說是必要的。但从发展来看，大功率的舰用、汽力装置的蒸汽初参数仍有提高的趋势。

单纯从热力学角度研究即肯循环时，我們假定它們是在理想条件下完成的。当它們在实际条件下实施的时候，不但需要考虑由热力学第二定律所决定的热损失，而且也要考虑由於实际装置的工作与理想条件不符而产生的损失。

图 2·2 表示了汽力装置完全膨胀的实际循环的 T-S 图。从图上可以看出，这个循环与完全膨胀的理论循环有些不同，这是由於要克服在动力装置各个部份中的阻力而产生的一系列能量损失。我們从蒸汽锅炉开始来讨论这些损失的性质。当蒸汽在过热器管中流动时产生了阻力，蒸汽压力从 p_{in} 降低到 p'_{in}



但是它由过热器出来的温度仍保持预定的温度 $T_{4\alpha}$ 。从过热器出来的蒸汽状态以点 4 表示。这一点是在等压线 $p'_{4\alpha}$ 与等温线 $T_{4\alpha}$ 相交点上。其蒸气的焓 $I'_{4\alpha}$ 比点 4 的焓稍高一些。当蒸汽沿着管路从锅炉流到透平，蒸汽压力从 $p'_{4\alpha}$ 降低到 p_1 。此外，由於蒸汽管路散热到外界，也同样使蒸汽温度 $T_{4\alpha}$ 降低到 T_1 ，於是蒸汽进入透平的状态就是以点 5 来表示。点 5 是等压线 p_1 与等温线 T_1 的交点。相當於这个蒸汽状态的焓是 I_1 ， I_1 值略小於焓 $I'_{4\alpha}$ ，但是可以認為蒸汽在主导管中上的焓降可由过热器中焓的升高来补偿。因此在热範圍圖中往往可以取 $I_1 \approx I_{4\alpha}$ 。在图〔2-8〕上散热损失 $I_1 - I_1'$ 是夸大的，所以等焓線 I_1 与 $I_{4\alpha}$ 不重合。

蒸汽在透平机中的实际膨胀过程是伴随着各种能量损失，因此其焓值增加并为不可逆过程。蒸汽在膨胀終了时的状态便不是点 5' 而是在等压线 p_1 右的另一点 6，线 5~6 假想地表示了透平中蒸汽膨胀的过程，点 6 表示膨胀終了出透平最后一級后面的蒸汽状态。

当蒸汽从透平最后一級排出凝汽柜时部份能量損失於克服排汽管中的阻力。蒸汽在实际循环中膨胀終点的压力 p_2 就應高於凝汽柜压力 p_z ，而在理論循环中这两个压力是相同的。当蒸汽沿着排汽管流动时它的动能在等焓下轉变为热量，这个过程用线 6~7 表示点 7 是位於等焓線 I_2 与等压線 p_z 之相交点上，并表示进入凝汽柜时蒸汽的状态。在实际的循环中，凝汽柜的压力同样也是变动的。冷凝过程是从透平排汽管端在压力 p_z 时开始，而在凝水聚集端压力为 $p_z - \Delta p_z$ 时结束 (Δp_z 为凝汽柜的蒸汽阻力)，凝水在冷凝終了的焓是由点 1' 决定，点 1' 是在等压線 $p_z - \Delta p_z$ 及飽和水線的相交点上；实际上在凝汽柜中凝水是有一定过冷的。因此进入锅炉中的上水溫度比相應於冷凝終了压力 $p_z - \Delta p_z$ 时的飽和溫度 T_z 低 Δt °C。表示其状态的点是 1，其焓为 i_1 ，低於理論循环中凝水的焓，冷凝過程如线 7~1'~1 所示。

在实际循环中工质加热的过程用线 1—2—3—4 表示。与理论循环相比我们可以看出热能转换为机械能的条件在实际循环中比理论循环来得差些。这可以由下面几点来说明：

1 在实际循环中进入锅炉中的上水温度比在理论循环中低；

2 在实际循环中进入透平的蒸汽温度及压力比理论循环中低；

3 在实际循环中蒸汽膨胀终了的压力比理论循环中高。

所有这一切都说明了所加入热量的利用效果在实际循环中比在理论循环中低，在实际循环中透平机前工质初始参数的降低以及在透平机后压力的升高是由於在蒸汽主管中及排气管中的蒸汽运动阻力而产生，这样在实际循环中能在主机中作功的能量损失（即绝热降）为面积 $I_2 - s' - s'' - s''' - I_3$ ，亦即等於 $H'a = I_1 - I_3$ 。而在理论循环中却为面积 $I_2 - s - s' - s'' - s''' - I_3$ ，其值为 $H'a = I_{in} - I_3$ 。

$H'a$ 值小於 $H'a$ ，比值 $\frac{H'a}{H'a}$ 称为动力装置的管路效率，用符号 η_{mp} 表示。

$$\eta_{mp} = \frac{H'a}{H'a} \quad \dots \dots \dots \quad (2 \cdot 4)$$

$\eta_{mp} = 0.96 \sim 0.98$ 。根据过热器型式、工质参数、蒸汽管路的长度、蒸汽在管中的流速以及绝缘的好坏而定。研究汽力装置的实际循环除了考虑如何提高理论循环的效率外，还必须研究如何提高管路效率。

从图上我们还可以看出，在透平机中实际上利用了的焓降是 $I_2 - I_3 = H_i$ （内热降），而透平机的内效率 η_i 就等於 $\frac{H_i}{H'a}$ 。

管路效率的求法或者是按照手册数据取，或者根据一般统计资料取蒸汽在管路中的压降及焓降，再从 T-S 图上求出，也可以利用计算方法求出。下面介绍其中某些常用的方法。

一 蒸汽在透平机排气管中的压降 $p_1 - p_2$ ，可以取蒸汽在管中流速 C_2

为 $8.0 \div 15.0$ 公尺／秒，与其相应的焰降则为：

$$\varphi_x = \frac{C_x}{(\rho \cdot g_1 g_2)^{1/2}} \text{ 千卡/公斤} \quad \dots (2.5)$$

式中 φ_x ～～系数等於 $0.8 \div 0.95$

根据 φ_x 、 p_x 值，已知蒸汽在透平机前的状态，便可求出 p_2 。如图(2.3)。

二蒸汽在蒸汽过热器中的压力降落，可以根据锅炉的流动阻力計求得或按下列經驗数据取：

对中压蒸汽参数为 $3 \div 6$

公斤／厘米²，

对高压蒸汽参数 $6 \div 10$

公斤／厘米²，

三蒸汽在主导管中的压力降落（即过热器后至喷管樹前的压差）可按下数值取：

对中压蒸汽参数为 $3 \div 4$ 公斤／厘米²，

对高压蒸汽参数为 $6 \div 8$ 公斤／厘米²，

或按下列公式計算：

$$\Delta p = 0.84 \times 10^{-6} \frac{1}{\rho_{cp} d_{Bn}^{5/4}} \sum Q^2 \cdot L \text{ 公斤/厘米}^2 \dots (2.6)$$

式中 ρ_{cp} ～～蒸汽的平均单位重 公斤／米³；

d_{Bn} ～～蒸汽导管的内徑，米；

Q ～～某蒸汽管段中的蒸汽流量，吨／时；

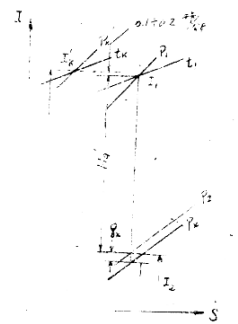


图2.3 蒸汽过热器前后
的压力损失

图2.3

$L \sim \sim$ 该管段的实际长度加上局部阻力的等值长度，米。
局部阻力的等值长度可按表 1 取：

表 1. 局部阻力的等值长度

局部阻力名称	等值长度(米)
弯管(弯曲 90° $R \approx 3d$)	7.5
波形弯管($R \approx 2d$)	2.6
十字接头	1.18
三通管	3.0
网	3.5
琴形弯管	4.2
波形膨胀接头($R \approx 2d$)	1.04
膨胀接头	2.1
阀门	1.0
隔离阀	1.50
止回阀	1.00
速关停汽阀	2.30

求出 Δp 之后便可在 I-S 图上找出透平喷嘴之前的压力 p_1 。然而蒸汽在节流过程的同时还有与外界空气的传热存在。蒸汽传给外界空气的热量根据一般的包有绝缘的圆管热交换公式来计算。

$$Q = \frac{2\pi c (t_1 - t_2)}{\frac{1}{\lambda_{in}} \frac{d}{d_n} + \frac{1}{\lambda_{out}} d} \text{ 千卡/时} \quad \dots \dots \quad (2-7)$$

上式是简化了的多层圆管传热公式，然而在实际计算中足够准确。

式中： $d : d_n \sim \sim$ 绝缘的外、内径，米；

λ_{in} ~ ~ 绝缘材料的导热系数，千卡/米时℃。

a_s ~~~从锅炉表面到外界空气的散热系数，千卡／米²·时℃，一般
 $a_s \approx 1.1 \pm 1.2$ 千卡／米²·时℃。

L ~~~蒸汽导管长度，米。

t_1, t_2 ~~~蒸汽及外界空气的温度，℃。

求出 Q 值后，就可求出蒸汽对外界空气散热后所减少的焓值，此值为：

$$\Delta h = \frac{Q}{1000G} \text{ 千卡／公斤} \quad \dots \dots \dots (2 \cdot 8)$$

式中 G ~~~导管中蒸汽流量，吨／时。

实际上，在全工况时 Δh 值一般不超过 0.1 ± 0.2 千卡／公斤，在低负荷时，由於 Q 值减小得很有限，而 G 值却大大减小，所以 Δh 可达 1 ± 2 千卡／公斤。

已知蒸汽在主导管中的压降及增降，便可从 I—S 图上找出蒸汽在喷管前的状态 p_1, t_1 ，如图(2·8)所示。

计算 Δp 及 Δh 在热焓图上用得着。在管理中要使 Δp 最小可以使蒸汽按最短的导管流通及开满阀门（特别是速关停汽阀）两方面考虑。

2·3 回热循环

对民用汽力装置来讲，由於可靠性生命力的性能非常重要，不可能像核电站那样运用高参数来解决循环效率与相失间的矛盾。因此就有必要研究不提高参数是否也可能提高循环效率。人们的注意点首先集中在循环初终参数不变的条件下如何改善即背循环使之接近卡诺循环。

从热力学原理可知，工质的加热过程在即背循环中是在不等温情况下进行的；因此就使其远离卡诺循环，不等温加热包括上进锅炉的水加热至沸腾及饱和蒸汽加热至过热这两个过程。由於过热蒸汽有一系列的优点，所以我們并不去取消这段过程，而是考虑如何使上入锅炉的水具有较高的温度以缩小水加热至沸腾的过程，採取的办法就是利用在主机或机车工作的蒸汽来预热上水，这种循环就叫回热循环。利用主机排汽进行回热的简图如图(2·6)，部份

蒸汽的热量(包括汽化热)给了上水。进入凝汽柜的蒸气量减少，因而被冷却不带走的热量就减少了，提高了循环的效率。

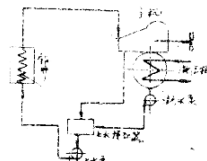


图 2-4

用于加热的进行加热的是
海水或海风

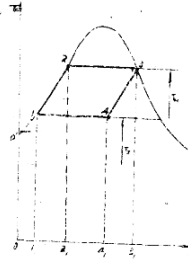


图 2-5

卡诺循环的热力学图解

图 2-6

如果装置中具有无限多数目的撤汽点和上水预热器，而在每个预热器中上水温度提高得无限少，则循环将如图(2-5)所示，其效率可达卡诺循环的值(采用过热蒸气不可能)。这叫做极限回热循环。

极限回热循环在实际上实现是不可能的。因为这样透平机就要做成无数多个级和无数多个上水预热器。然而我们为了研究回热循环，却愿意把它作为典型型式，在理论上为了实现极限回热循环可以有不同的热力学图。为了研究方便，我们举出了图(2-6)所示的热力学图，它是具有无数多次撤汽和无数表面式上水预热器的装置。当然也可以用混合式上水预热器。在后一种装置中多了无数个离心泵，如图(2-7)所示。

按图(2-7)所示的装置工作的回热循环的温熵图将如图(2-8)。由於在整个循环中工质的量在蒸气膨胀过程及上水加热过程中是变数，故可用 $T - G$ 图来表示其循环，在此图上画有两条边界线：对於 1 公斤工质的曲线 1 及对於 $(1 + W)$ 公斤的工质曲线 2， W 是撤汽的量。
—2-3-4-1

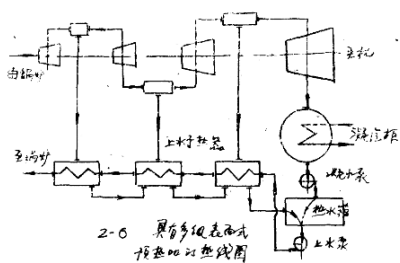


图 2.6 具有多级预热器的热循环图

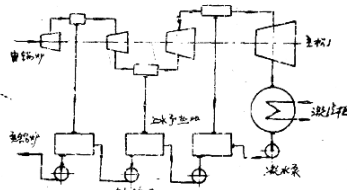


图 2.7 具有两级或多级预热器的热循环图

就是整个循环过程。

我們知道，採用回热后循環效率將高於即背循環的，然而不同上水的預熱程度對回熱循環帶來的好處究竟是多少，還值得進一步研究。要研究它們的關係，首先是從研究相對蒸氣量開始。

假定：某一段時間由主机最後一級排出的蒸氣為 1 公斤，而在此期間為預熱上水撤出的總蒸氣量為 W 公斤。假設進入無限個預熱器中的一個的蒸氣量為 w 公斤。此種單元表面式預熱器示於圖(2.9)中。

如果蒸氣的焓及熵以字母 T 及 S 表示，而水的則以字母 t 及 s 表示。則單元上水預熱器的熱平衡可寫成

图 2.8

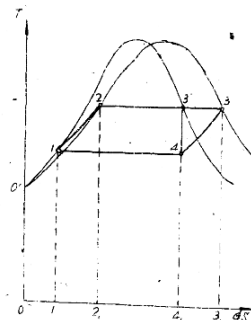


图 2.8 编译自 T-GST

图 2.8

下式：

$$(1+W)di = dW(I' - i)$$

式中： $di = i_{m+1} - i_m$ 在

经过单元预热器时上水热焓无限小的增加量。把上公式移项：

便得：

$$\frac{di}{I' - i} = \frac{dW}{1 + W} \quad \dots \dots (2 \cdot 9)$$

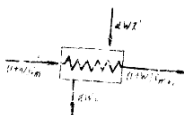


图 2·9

如果知道 $I' - i$ 与 dW 之间的函数关系，则上式可以积分。为了求出此关系，我们来研究一下蒸汽在无限多级数的主机中的膨胀过程。此过程可假想的如图(2·10)。

设在撤汽点的压力为 p ，

在 p = 常数的等压线和蒸汽在主机中的实际膨胀过程线的相交点的热焓为 I' ，而在此压力下的凝水焓即为 i 。

以 X 来表示上水的预热度

$$X = \frac{i - i_0}{i_{k_0} - i_0} \quad \dots \dots (2 \cdot 10)$$

式中： i_0 ~ 蒸汽柜中(压力为 p_2)的凝水焓；

i_{k_0} ~ 锅炉中(压力为 p_{k_0})的饱和水焓。

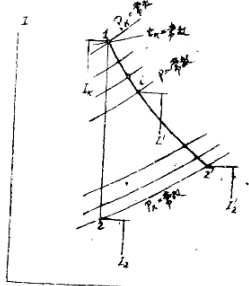


图 2·10

对一定的锅炉及蒸汽柜压力，焓差 $i_{k_0} - i_0$ 是一个常数，而焓差 $i - i_0$ 是随撤汽点的压力而变化，因此上水预热度 X 是在从 $0 \rightarrow 1$ 的范

国内动态

微分(2·16)式得:

$$d\zeta \neq (i_0 - i_1) dx + \text{higher order terms} \quad (2.11)$$

設 $\psi = I' - i$ 。如果能找到 ψ 與預熱度 χ 之間的函數關係，則式(2)就可以积分以求解。

最方便的办法是选择不同的蒸汽压力 p ，从图(2-17)及蒸汽表上找出 t' 及 t 。这样即可求出 γ 及 X 值。以 γ 及 X 为坐标，可以画出 $\gamma = f(X)$ 曲线，图(3-11)即是一般透平机的 γ 与 X 的关系曲线。

像图上所示的曲线可以用二次方程式来表示：

$$y = a x^2 + b x + c \quad (2.12)$$

这对於实际計算来讲已足夠精确。因此可以说 $y = f(x)$ 的关系已能求得。

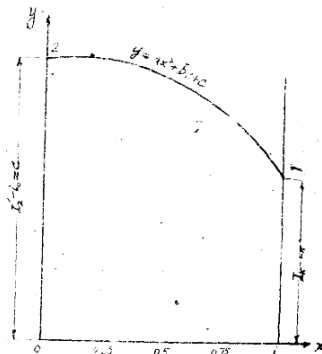


图 2-11 $y=f(x)$ 曲线

卷之三

方程式(8-12)中系数 a , b , c 如已知蒸汽在主机中的实际膨胀过程线是很容易求出的。这只需将几个特殊点值代入解系数 a , b , c 的联立方程即可。

将式(2.12)及式(2.11)代入式(2.9)中, 得到:

$$(i_k - i_s) \frac{dz}{az^3 + bz^2 + c} = \frac{dW}{1+W} \quad \dots \dots \quad (2.13)$$

把上式积分，可得到在无限多个预热器中上水预热到预定预热度所需的蒸气量的公式：

$$W = \left(\frac{b + 2c + \sqrt{b^2 - 4ac}}{b - 2c - \sqrt{b^2 - 4ac}} \right)^{\frac{T_0 - T_1}{T_0 - T_2}} - 1 \quad (2.14)$$

比较一下回热循环的效率与朗肯循环效率，就可以求出预热到一定预热度的再生循环的经济效果。一般用相对节省率来表示这经济利益。

$$E = \frac{\eta_R}{\eta_p} \quad (2.15)$$

式中， η_p 、 η_R 为回热及朗肯循环的效率。

为了求出 E，我们进行如下的推导：

$$E = 1 - \frac{\eta_R}{\eta_p} = 1 - \frac{\eta_R \cdot \eta_i}{\eta_p \cdot \eta_i}$$

式中， η_i 为主机内效率。

根据以前所讲过的概念，我们知道

$$\eta_R \cdot \eta_i = \frac{I_{h2} - I_{h2}'}{I_{h2} - I_{g2}}$$

$$\eta_p \cdot \eta_i = \frac{(I_{h2} - i)(1 + W) - (I_{h2}' - i_0)}{(I_{h2} - i)(1 + W)}$$

$$\frac{I_{h2} - I_{h2}'}{I_{h2} - i_0}$$

$$\text{因此： } E = 1 - \frac{(I_{h2} - i)(1 + W) - (I_{h2}' - i_0)}{(I_{h2} - i)(1 + W)}$$

$$= \frac{(I_{h2} - i)(1 + W)(1_{h2} - I_{h2}')}{(I_{h2} - i_0)[(I_{h2} - i)(1 + W) - (I_{h2}' - i_0)]}$$

$$\text{又因 } i = \mathcal{R}(i_{h2} - i_0) + i_0$$

经过一系列的演算，最后可得到：

$$\bar{E} = \frac{T_2 - t_0}{T_0 - t_0} \times \frac{W(I_{10} - i_0) - 2(I_{10} - i_0)(1 + W)}{W(I_{10} - i_0) - 2(I_{10} - i_0)(1 + W) + I_{10} - I_2} \quad \dots(2-16)$$

还需指出一点即是在导演 E 的公式时假定了主机的效率在回热和郎肯循环中维持不变。

从公式 (2-16) 中可以看出：相对节省 \bar{E} 与许多因素有关。例如：相对撤汽量 W ；上水预热度 W ；蒸汽及水的初终状态 I_{10} 、 i_0 、 I_2 以及主机的内效率，因为它决定了 I_1 值。

图 (2-12) 所示为理想回热循环中的相对节省随预热度而变化的曲线。三条曲线是对应相同的凝汽器压力及相同内效率（且各级效率亦等）的情况下，不同的初参数时作出的，曲线 1 是 $P_{10} = 15$

绝对气压， $t_{10} = 380^{\circ}\text{C}$
，曲线 2 是 $P_{10} = 30$

绝对气压， $t_{10} = 380^{\circ}\text{C}$
，曲线 3 是 5.3 绝对气压

， 450°C 。

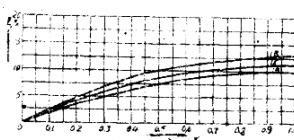


图 2-12
相对节省随预热度而变化的曲线

图 2-12

由曲线分析可知，蒸汽初参数越高，相对节省的利益就越大以及在初温增加预热度时所获得的好处比预热度高时大。

我们知道：实际的主机是有一定的级数 Z 的，因此最多的撤汽数目只能是 $Z-1$ 。然而实际上所采用的撤汽数比这个值少得多，否则装置将会太复杂了。

回热装置除了纯粹的热力上的利益外，对透平装置来说尚有一系列的优点：例如：前几级叶片的效率能提高；最后级的排出速度损失减少，以及最后几级蒸汽湿度的减少。